

การทำนายการลดทอนสัญญาณดาวเทียม 12 GHz เนื่องจากฝน
ที่มุมเงยต่ำของสถานีภาคพื้นดินในประเทศไทย



นายพงษ์ศักดิ์ สุขสัมพันธ์ไพบูลย์

ศูนย์วิทยทรัพยากร
จุฬาลงกรณ์มหาวิทยาลัย

วิทยานิพนธ์นี้เป็นส่วนหนึ่งของการศึกษาตามหลักสูตรปริญญาวิศวกรรมศาสตรมหาบัณฑิต

ภาควิชาวิศวกรรมไฟฟ้า

บัณฑิตวิทยาลัย จุฬาลงกรณ์มหาวิทยาลัย

พ.ศ. 2538

ISBN 974-631-379-7

ลิขสิทธิ์ของบัณฑิตวิทยาลัย จุฬาลงกรณ์มหาวิทยาลัย

I1676024X

12 GHz RAIN ATTENUATION PREDICTION AT LOW
EARTH STATION ANGLE IN THAILAND



Pongsak Susampanpaiboon

ศูนย์วิทยทรัพยากร

จุฬาลงกรณ์มหาวิทยาลัย

A Thesis Submitted in Partial Fulfillment of the Requirements

for the Degree of Master of Engineering

Department of Electrical Engineering

Graduate School

Chulalongkorn University

1995

ISBN 974-631-379-7

หัวข้อวิทยานิพนธ์ การทำนายการลดทอนสัญญาณดาวเทียม 12 GHz เนื่องจากฝนที่มมเมยต่ำของสถานี

ภาคพื้นดินในประเทศไทย

โดย นายพงษ์ศักดิ์ สุสัมพันธ์ไพบูลย์

ภาควิชา วิศวกรรมไฟฟ้า

อาจารย์ที่ปรึกษา ผู้ช่วยศาสตราจารย์ ดร. ประสิทธิ์ ทิมพุดิ



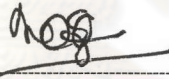
บัณฑิตวิทยาลัย จุฬาลงกรณ์มหาวิทยาลัย อนุมัติให้หัวข้อวิทยานิพนธ์ฉบับนี้เป็นส่วนหนึ่งของการ
ศึกษาตามหลักสูตรปริญญาวิทยาศาสตรบัณฑิต



คณบดีบัณฑิตวิทยาลัย

(รองศาสตราจารย์ ดร. สันติ กงสุวรรณ)

คณะกรรมการสอบวิทยานิพนธ์



ประธานกรรมการ

(รองศาสตราจารย์ ดร. ณรงค์ อยู่ถนอม)



อาจารย์ที่ปรึกษา

(ผู้ช่วยศาสตราจารย์ ดร. ประสิทธิ์ ทิมพุดิ)



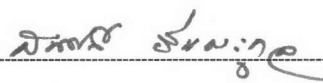
กรรมการ

(อาจารย์ ดร. ทับทิม อ่างแก้ว)



กรรมการ

(คุณเกรียงไกร ดินตะสุวรรณ)



กรรมการ

(ดร. สมศรี ยันตระกุล)

พิมพ์ต้นฉบับบทคัดย่อวิทยานิพนธ์ภายในกรอบสี่เหลี่ยมนี้เพียงแผ่นเดียว

พงษ์ศักดิ์ สุสัมพันธ์ไพบุลย์ : การทำนายการลดทอนสัญญาณดาวเทียม 12 GHz เนื่องจากฝนที่มุมเงยต่ำของสถานีภาคพื้นดินในประเทศไทย(12 GHz RAIN ATTENUATION PREDICTION AT LOW EARTH STATION ANGLE IN THAILAND) อ. ที่ปรึกษา :- ผศ. ดร. ประสิทธิ์ ทิมพุดิ, 199 หน้า. ISBN 974-631-379-7

วิทยานิพนธ์นี้มีจุดมุ่งหมายที่จะเสนอวิธีการคำนวณค่าประมาณการของการลดทอนสัญญาณดาวเทียมที่ความถี่ 12 GHz เนื่องจากฝน ที่คาดว่าจะถูกเกินที่ระดับความเป็นไปได้ที่ต้องการ(ซึ่งหมายถึงระดับเปอร์เซ็นต์ของช่วงเวลาเฉลี่ย 1 ปี) จากสถิติการแจกแจงสะสมของอัตราฝนตก ณ ที่ตั้งสถานีภาคพื้นดิน สำหรับใช้งานในประเทศไทย โดยทำการพิจารณาที่มุมเงยต่ำของจันสายอากาศ ซึ่งเป็นกรณีเลวร้ายที่สุด

รูปแบบการคำนวณได้พัฒนาจากแบบจำลองเซลล์ฝนที่มีลักษณะเป็นรูปทรงกระบอก ซึ่งมีอัตราฝนตกภายในสม่ำเสมอโดยได้มีการปรับพารามิเตอร์ทางกายภาพของเซลล์ฝน เช่น ขนาดเส้นผ่าศูนย์กลางเฉลี่ย และความสูงเฉลี่ยของเซลล์ฝน ให้เหมาะสมสำหรับประเทศไทย ผลการคำนวณโดยวิธีที่เสนอนี้และโดยวิธีอื่น ได้ถูกเปรียบเทียบกับผลที่ได้จากการวัดโดยเรดิโอมิเตอร์แบบดิกกีในประเทศไทย, สิงคโปร์ และ อินโดนีเซีย และพบว่าวิธีที่เสนอนี้ได้ให้ผลใกล้เคียงมากที่สุด โดยเฉพาะที่ระดับความเป็นไปได้ต่ำ และมีความใกล้เคียงอย่างสม่ำเสมอในแต่ละระดับความเป็นไปได้ รวมทั้งมีแนวโน้มทางสถิติที่ไปด้วยกัน วิธีที่เสนอนี้จะให้ค่าทางสถิติ(ค่าเฉลี่ย, ค่าเบี่ยงเบนมาตรฐาน และค่า rms)ของตัวแปรทดสอบ ต่ำกว่า 10 % ที่ระดับความเป็นไปได้ไม่เกิน 0.4 % ขณะที่วิธีการอื่นให้ค่าทางสถิติแตกต่างกันออกไปมาก นอกจากนี้ยังได้แสดงผลการคำนวณโดยวิธีที่เสนอจากการใช้สถิติอัตราฝนตกที่เสนอโดย CCIR(International Radio Consultative Committee) ซึ่งก็ให้ผลที่สามารถยอมรับได้สำหรับใช้งานในประเทศไทย

ศูนย์วิทยทรัพยากร
จุฬาลงกรณ์มหาวิทยาลัย



ภาควิชา วิศวกรรมไฟฟ้า
สาขาวิชา ไฟฟ้าสื่อสาร
ปีการศึกษา 2534

ลายมือชื่อนิติต พงษ์ศักดิ์ สุสัมพันธ์ไพบุลย์
ลายมือชื่ออาจารย์ที่ปรึกษา ประสิทธิ์ ทิมพุดิ
ลายมือชื่ออาจารย์ที่ปรึกษาร่วม -

C515628 : MAJOR ELECTRICAL ENGINEERING
KEY WORD: 12 GHz RAIN ATTENUATION / LOW EARTH STATION ANGLE / THAILAND

PONGSAK SUSAMPANPAIBOON : 12 GHz RAIN ATTENUATION PREDICTION AT LOW EARTH STATION ANGLE IN THAILAND. THESIS ADVISOR : ASSI. PROF. PRASIT TEEKAPUT, Ph. D. 199 pp.
ISBN 974-631-379-7

The objective of this thesis is to establish the rain attenuation prediction model for 12 GHz on slant path at low elevation angle in Thailand. The estimated attenuation exceeded for required probability level (time percentage of an average year) and calculated by using point rainfall rate cumulative distribution at earth station is provided.

This proposed model was developed from cylindrical rain cell model having uniform rain rate and suitable physical parameters such as average rain cell size, and average rain height for Thailand. The cumulative attenuation distribution of the proposed method and others were compared with measured statistics obtained from Dicke radiometers in Thailand, Singapore and Indonesia. The proposed method gives very good results, especially at low probability level and rather closely at each probability level including to have same trend with measured statistics. The proposed method gives statistic values(mean, standard deviation and rms values) of test variable below 10 % at probability level not exceeded 0.4 %. On the other hand, other methods give the statistic values more differently. Additionally, the estimated attenuation of the proposed method calculated by using CCIR(International Radio Consultative Committee) rainfall rate statistic remain to give acceptable results for using in Thailand.

ศูนย์วิทยทรัพยากร
จุฬาลงกรณ์มหาวิทยาลัย

ภาควิชา วิศวกรรมไฟฟ้า

สาขาวิชา ไฟฟ้าสื่อสาร

ปีการศึกษา 2537

ลายมือชื่อนิติบัตร พงษ์ศักดิ์ สิมพันธ์อินทร์

ลายมือชื่ออาจารย์ที่ปรึกษา ประสงค์ คุ้มดวง

ลายมือชื่ออาจารย์ที่ปรึกษาร่วม -



กิตติกรรมประกาศ

ข้าพเจ้าขอกราบขอบพระคุณ ดร. ประสิทธิ์ ทีฆพุมิ อาจารย์ที่ปรึกษาวิทยานิพนธ์ ที่กรุณาสละเวลาให้คำปรึกษาและคำแนะนำต่างๆ ในการทำวิทยานิพนธ์ จนกระทั่งสำเร็จลุล่วงไปด้วยดี และข้าพเจ้าขอกราบขอบพระคุณ รศ. ดร. ณรงค์ อยู่ถนอม, ดร. ทับทิม อ่างแก้ว, คุณเกรียงไกร ดินตะสุวรรณ และ ดร. สมศรี ยืนตระกูล จากกรมอุตุนิยมวิทยา ที่ได้ให้คำแนะนำและวิจารณ์สิ่งที่เป็นประโยชน์ในการทำวิทยานิพนธ์ครั้งนี้

นอกจากนี้ข้าพเจ้าขอขอบคุณ คุณราชนัย เหล็กกล้า จากกองพัฒนาธุรกิจและบริการโทรคมนาคม การสื่อสารแห่งประเทศไทย, คุณคำเนิง เมืองโคตร จากกองตรวจอากาศ กรมอุตุนิยมวิทยา รวมทั้งเจ้าหน้าที่ของกรมอุตุนิยมวิทยา และเจ้าหน้าที่ของสำนักงานปฏิบัติการฝนหลวง ท่านอื่นๆ ที่ไม่ได้กล่าวถึง ณ ที่นี้ ที่ได้มีส่วนช่วยให้คำปรึกษาทางวิชาการ, คำแนะนำ และ ความช่วยเหลือต่างๆ ในการทำวิทยานิพนธ์ครั้งนี้ จนกระทั่งสำเร็จไปได้ด้วยดี

ศูนย์วิทยทรัพยากร
จุฬาลงกรณ์มหาวิทยาลัย

สารบัญ



| | หน้า |
|---|------|
| บทคัดย่อภาษาไทย..... | ง |
| บทคัดย่อภาษาอังกฤษ..... | จ |
| กิตติกรรมประกาศ..... | ฉ |
| สารบัญตาราง..... | ญ |
| สารบัญภาพ..... | ต |
| บทที่ | |
| 1. บทนำ..... | 1 |
| 2. พื้นฐานทางทฤษฎี..... | 3 |
| แนวทางการทำนายการลดทอนสัญญาณ..... | 3 |
| 1. การลดทอนเฉพาะ..... | 4 |
| 1.1 ผลกระทบจากรูปร่างของเมล็ดฝืน..... | 4 |
| 1.2 ผลกระทบจากการແก้แจะขนาดเมล็ดฝืน..... | 5 |
| 1.3 ผลกระทบจากอุณหภูมิของเมล็ดฝืน..... | 7 |
| 1.4 ผลกระทบจากการกระจัดกระจายของสัญญาณจากเมล็ดฝืน..... | 9 |
| 2. การແก้แจะอัตราฝืนตก ณ จุดทำการวัด..... | 11 |
| 3. เซลฝืน..... | 16 |
| 3.1 การก่อดั้วของพายุฟ้าคะนอง..... | 16 |
| 3.2 การกระจายของหยาดน้ำฟ้าแต่ละชนิดในเมฆฟ้าคะนอง..... | 20 |
| 3.3 การเปลี่ยนแปลงทางแนวตั้ง..... | 21 |
| 3.4 การเปลี่ยนแปลงทางแนวราบ..... | 23 |
| การวัดค่าอุณหภูมิสัญญาณรบกวนจากฟ้าโดยเรดิโอมิเตอร์..... | 26 |
| 1. การวัดโดยเรดิโอมิเตอร์แบบแอนด์ทีพี..... | 29 |
| 2. การวัดโดยเรดิโอมิเตอร์แบบพาสซีฟ..... | 30 |

สารบัญ (ต่อ)

| | หน้า |
|--|------|
| 3. การคำนวณการลดทอนสัญญาณจากอุณหภูมิของงานเสาอากาศ | 32 |
| 3. การทดลองและผลการทดลอง | 36 |
| การทดลอง | 36 |
| ผลการทดลอง | 39 |
| 4. การทำนายการลดทอนสัญญาณโดยวิธีต่างๆ | 48 |
| การทำนายการลดทอนสัญญาณโดยวิธีของ CCIR | 48 |
| 1. ข้อดีของวิธีการของ CCIR | 51 |
| 2. ข้อเสียของวิธีการของ CCIR | 51 |
| การทำนายการลดทอนสัญญาณโดยวิธี Global model..... | 56 |
| 1. ข้อดีของ Global model..... | 65 |
| 2. ข้อเสียของ Global model..... | 65 |
| การทำนายการลดทอนสัญญาณโดยวิธี SAM | 66 |
| 1. ข้อดีของ SAM..... | 73 |
| 2. ข้อเสียของ SAM | 73 |
| 5. การทำนายการลดทอนสัญญาณโดยวิธีที่เสนอ | 74 |
| ขนาดเส้นผ่าศูนย์กลางเฉลี่ยของเซลฝน | 74 |
| ความสูงเฉลี่ยของเซลฝน..... | 84 |
| แฟคเตอร์ของเวลาสะสม | 92 |
| ความยาวเส้นทางยังผลที่ได้รับผลกระทบจากฝน | 94 |
| ค่าการลดทอนสัญญาณจากฝน | 96 |
| ผลการคำนวณ..... | 96 |
| 6. การทดสอบวิธีการที่ใช้ทำนายการลดทอนสัญญาณจากฝน | 105 |
| การทดสอบ | 105 |
| ผลการทดสอบ | 111 |

สารบัญ (ต่อ)

| | หน้า |
|-----------------------------------|------|
| 7. สรุปการวิจัยและข้อเสนอแนะ..... | 116 |
| รายการอ้างอิง..... | 118 |
| ภาคผนวก ก..... | 123 |
| ภาคผนวก ข..... | 138 |
| ประวัติผู้เขียน..... | 199 |



ศูนย์วิทยทรัพยากร
จุฬาลงกรณ์มหาวิทยาลัย

สารบัญตาราง

| | หน้า |
|---|------|
| ตารางที่ 2.1 สัมประสิทธิ์การถดถอยสำหรับการประมาณการลดทอนเฉพาะในสมการ (2.1)..... | 10 |
| ตารางที่ 2.2 ค่าพารามิเตอร์ u สำหรับย่านต่างๆ | 13 |
| ตารางที่ 2.3 ย่านภูมิอากาศของฝนกับอัตราฝนตกที่ถูกเกิน(mm/h)..... | 13 |
| ตารางที่ 2.4 ความผิดพลาดของค่าการลดทอนที่คำนวณได้กับค่าอุณหภูมิตัวกลางยังผล..... | 35 |
| ตารางที่ 3.1 รายละเอียดของสถานีที่ตั้งของเรดิโอมิเตอร์..... | 39 |
| ตารางที่ 3.2 การแจกแจงสะสมของอัตราฝนตก ที่สิงคโปร์(ก.พ. 2535 - ม.ค. 2536) และบันดุง(ก.พ. 2535 - ต.ค. 2535)..... | 40 |
| ตารางที่ 3.3 การแจกแจงสะสมของการลดทอนสัญญาณ ที่สิงคโปร์(ก.พ. 2535 - ม.ค. 2536) และบันดุง(ก.พ. 2535 - ต.ค. 2535)..... | 40 |
| ตารางที่ 4.1 พารามิเตอร์ที่ใช้ในการทำนายการลดทอนสัญญาณ 12 GHz โดยวิธี CCIR | 50 |
| ตารางที่ 4.2 ค่าการแจกแจงอัตราฝนตก(mm/h)..... | 57 |
| ตารางที่ 4.3 ค่า P , $H(P)$ และ ค่าคงที่ a , b สำหรับแต่ละสถานี..... | 60 |
| ตารางที่ 5.1 ค่าทางสถิติของขนาดเส้นผ่าศูนย์กลางเฉลี่ยของเซลล์ฝน(km)ในแต่ละระดับฝน | 77 |
| ตารางที่ 5.2 ค่าควอนไทล์ของขนาดเส้นผ่าศูนย์กลางเฉลี่ยของเซลล์ฝน(km)ในแต่ละระดับฝน..... | 78 |
| ตารางที่ 5.3 การแจกแจงความถี่ของขนาดเส้นผ่าศูนย์กลางเฉลี่ยของเซลล์ฝน(km)ในแต่ละระดับฝน | 79 |
| ตารางที่ 5.4 ค่า MLE ของการแจกแจงที่ถูกปรับแล้ว..... | 80 |
| ตารางที่ 5.5 เปรียบเทียบค่าควอนไทล์ของการแจกแจงที่ถูกปรับแล้วสำหรับฝนแต่ละระดับ..... | 81 |
| ตารางที่ 5.6 ขนาดเส้นผ่าศูนย์กลางเฉลี่ยของเซลล์ฝนและอัตราฝนตก ในประเทศไทย | 84 |
| ตารางที่ 5.7 ค่าทางสถิติของความสูงระดับเยือกแข็ง(km)ในแต่ละจังหวัด | 85 |
| ตารางที่ 5.8 ค่าควอนไทล์ของความสูงระดับเยือกแข็ง(km)ในแต่ละจังหวัด..... | 86 |
| ตารางที่ 5.9 การแจกแจงความถี่ของความสูงระดับเยือกแข็ง ในแต่ละจังหวัด | 87 |
| ตารางที่ 5.10 เปรียบเทียบค่าควอนไทล์ของการแจกแจงที่ถูกปรับแล้วสำหรับกรุงเทพฯ ($n = 2895$)..... | 89 |
| ตารางที่ 6.1 เปรียบเทียบผลการคำนวณการลดทอนสัญญาณ(dB)โดยวิธีต่างๆ สำหรับกรุงเทพฯ (ก.พ. 2535 - ม.ค. 2536)..... | 106 |

สารบัญตาราง (ต่อ)

| | | หน้า |
|---------------|--|------|
| ตารางที่ 6.2 | เปรียบเทียบผลการคำนวณการลดทอนสัญญาณ(dB)โดยวิธีต่างๆ สำหรับกรุงเทพฯ (ก.พ. 2536 - ม.ค. 2537)..... | 107 |
| ตารางที่ 6.3 | เปรียบเทียบผลการคำนวณการลดทอนสัญญาณ(dB)โดยวิธีต่างๆ สำหรับกรุงเทพฯ (ก.พ. 2535 - ม.ค. 2537)..... | 107 |
| ตารางที่ 6.4 | เปรียบเทียบผลการคำนวณการลดทอนสัญญาณ(dB)โดยวิธีต่างๆ สำหรับศรีราชา (ก.พ. 2535 - ม.ค. 2536)..... | 108 |
| ตารางที่ 6.5 | เปรียบเทียบผลการคำนวณการลดทอนสัญญาณ(dB)โดยวิธีต่างๆ สำหรับศรีราชา (ก.พ. 2536 - ม.ค. 2537)..... | 109 |
| ตารางที่ 6.6 | เปรียบเทียบผลการคำนวณการลดทอนสัญญาณ(dB)โดยวิธีต่างๆ สำหรับศรีราชา (ก.พ. 2535 - ม.ค. 2537)..... | 109 |
| ตารางที่ 6.7 | เปรียบเทียบผลการคำนวณการลดทอนสัญญาณ(dB)โดยวิธีต่างๆ สำหรับสิงคโปร์ (ก.พ. 2535 - ม.ค. 2536)..... | 110 |
| ตารางที่ 6.8 | เปรียบเทียบผลการคำนวณการลดทอนสัญญาณ(dB)โดยวิธีต่างๆ สำหรับบันดุง (ก.พ. 2535 - ต.ค. 2535)..... | 110 |
| ตารางที่ 6.9 | ค่าเฉลี่ย(%)ของตัวแปรทดสอบที่ระดับเปอร์เซ็นต์ของเวลาต่างๆ สำหรับวิธีการทำนายแบบต่างๆ..... | 112 |
| ตารางที่ 6.10 | ค่าเบี่ยงเบนมาตรฐาน(%)ของตัวแปรทดสอบที่ระดับเปอร์เซ็นต์ของเวลาต่างๆ สำหรับวิธีการทำนายแบบต่างๆ..... | 112 |
| ตารางที่ 6.11 | ค่า rms (%)ของตัวแปรทดสอบที่ระดับเปอร์เซ็นต์ของเวลาต่างๆ สำหรับวิธีการทำนายแบบต่างๆ..... | 113 |

สารบัญภาพ

| | หน้า |
|--|------|
| รูปที่ 2.1 การลดทอนเฉพาะสำหรับเม็ดฝนแบบทรงกลมถูกเปรียบเทียบกับการลดทอนของคลื่นโพลาไรซ์แนวตั้งและแนวราบที่ถูกกระจัดกระจายโดยเม็ดฝนแบบทรงกลมเป็น..... | 5 |
| รูปที่ 2.2 การลดทอนเฉพาะของฝนจาก 1 ถึง 1000 GHz ที่อัตราฝนตก 2.5, 12.5, 50 และ 150 mm/h สำหรับการแจกแจงขนาดเม็ดฝนของ Laws และ Parsons, ของ Marshall และ Palmer และ ของ Joss โดยอุณหภูมิฝนเท่ากับ 20°C..... | 6 |
| รูปที่ 2.3 ส่วนจริง m_r ลบหนึ่งของดัชนีหักเหเชิงซ้อน ที่ถูกคูณด้วย $10^6 [(m_r-1)10^6]$ สำหรับตัวกลางที่ประกอบด้วยเม็ดของน้ำในที่ว่าง โดยอุณหภูมิเท่ากับ 20°C และการแจกแจงของ Laws และ Parsons..... | 7 |
| รูปที่ 2.4 ส่วนจินตภาพ m_i ของดัชนีหักเหเชิงซ้อน ที่ถูกคูณด้วย $10^6 [m_i \times 10^6]$ สำหรับตัวกลางเช่นเดียวกับในรูปที่ 2.3..... | 8 |
| รูปที่ 2.5 การลดทอนเฉพาะเป็นฟังก์ชันของความถี่ สำหรับการแพร่ของคลื่นต่อเนื่องตลอดฝนที่สม่ำเสมอ..... | 8 |
| รูปที่ 2.6 แผนภาพแสดงลักษณะการกระจายแบบหลายทาง..... | 9 |
| รูปที่ 2.7 แผนที่แสดงเส้นอัตราฝนตก 0.01 % ($R_{0.01}$)..... | 14 |
| รูปที่ 2.8 แผนที่แสดงย่านภูมิอากาศ..... | 15 |
| รูปที่ 2.9 ระยะเริ่มก่อตัวเป็นเมฆคิวมูลัสในระยะแรกของการเกิดพายุฟ้าคะนอง มีกระแสอากาศไหลขึ้นเพียงอย่างเดียว..... | 17 |
| รูปที่ 2.10 ระยะเจริญเติบโตเต็มที่ของพายุฟ้าคะนอง มีกระแสอากาศไหลขึ้นและไหลลง..... | 18 |
| รูปที่ 2.11 ระยะสลายตัวของพายุฟ้าคะนอง มีแต่กระแสอากาศไหลลงอย่างเดียว จนกระทั่งสลายตัว..... | 19 |
| รูปที่ 2.12 แสดงการกระจายของหยาดน้ำฟ้าในเมฆฟ้าคะนอง..... | 21 |
| รูปที่ 2.13 ความสูง 0°C isotherm เฉลี่ยในช่วงฤดูร้อน..... | 23 |
| รูปที่ 2.14 แผนภาพของเซลล์ฝนที่เกิดจากการพาความร้อน โดยวางตัวอย่างมีระเบียบในบรรยากาศที่มีเสถียรภาพ ส่วนที่บเป็นบริเวณที่อากาศร้อนลอยตัวขึ้น และส่วนพื้นที่สีขาวเป็นบริเวณที่อากาศจมตัวลง..... | 24 |

สารบัญภาพ (ต่อ)

| | หน้า |
|---|------|
| รูปที่ 2.15 ผลการสังเกตทางเรดาร์ของลักษณะฝนในวันที่เกิดพายุฟ้าคะนองแบบมวลอากาศ ส่วนที่บเป็นบริเวณที่อากาศร้อนลอยตัวขึ้น และส่วนพื้นที่สีขาวเป็นบริเวณที่อากาศจมตัวลง..... | 24 |
| รูปที่ 2.16 ผลการสังเกตทางเรดาร์ของลักษณะฝนในวันที่เกิดพายุฟ้าคะนองในแนวสควอลล์ ส่วนที่บเป็นบริเวณที่อากาศร้อนลอยตัวขึ้น และส่วนพื้นที่สีขาวเป็นบริเวณที่อากาศจมตัวลง..... | 25 |
| รูปที่ 2.17 ผลการสังเกตทางเรดาร์ของโครงสร้างเซลล์ฝนที่ Millstone | 26 |
| รูปที่ 2.18 แผนภาพแสดงความสูญเสียของสัญญาณและอุณหภูมิที่แผ่ออกมา เนื่องจากตัวกลางดูดกลืนที่มีค่าการส่งพลังงาน σ | 27 |
| รูปที่ 2.19 แหล่งกำเนิดสัญญาณรบกวนจากภายนอกบรรยากาศ..... | 28 |
| รูปที่ 2.20 แผนภาพแสดงการสลับเปลี่ยนทิศทางการวัดของเรดิโอมิเตอร์แบบแอ็คทีฟ | 29 |
| รูปที่ 2.21 แผนภาพและบล็อกไดอะแกรมแสดงความแตกต่างระหว่าง (ก) เรดิโอมิเตอร์ แบบกำลังงานรวม และ (ข) เรดิโอมิเตอร์แบบดิคก์..... | 31 |
| รูปที่ 2.22 ภาพ plan-view แสดงผลของความไม่สม่ำเสมอของฝนที่เรดิโอมิเตอร์ได้รับ (ก) เรดิโอมิเตอร์อยู่นอกพายุฝน (ข) เรดิโอมิเตอร์อยู่ในใจกลางของพายุฝน | 33 |
| รูปที่ 3.1 การจัดรูปลักษณะของระบบการวัดในประเทศไทย | 37 |
| รูปที่ 3.2 อุณหภูมิของงานสายอากาศและอัตราฝนตก ที่วัดได้ตลอด 24 ชั่วโมง เมื่อวันที่ 23 กันยายน 2535 ที่กรุงเทพฯ..... | 43 |
| รูปที่ 3.2 อุณหภูมิของงานสายอากาศและอัตราฝนตก ที่วัดได้ตลอด 24 ชั่วโมง เมื่อวันที่ 23 กันยายน 2535 ที่ศรีราชา..... | 43 |
| รูปที่ 3.4 การแจกแจงสะสมของอัตราฝนตก ที่กรุงเทพฯ..... | 44 |
| รูปที่ 3.5 การแจกแจงสะสมของค่าการลดทอนสัญญาณ ที่กรุงเทพฯ..... | 44 |
| รูปที่ 3.6 การแจกแจงสะสมของอัตราฝนตก ที่ศรีราชา..... | 45 |
| รูปที่ 3.7 การแจกแจงสะสมของค่าการลดทอนสัญญาณ ที่ศรีราชา..... | 45 |
| รูปที่ 3.8 การแจกแจงสะสมของอัตราฝนตก ที่สิงคโปร์..... | 46 |
| รูปที่ 3.9 การแจกแจงสะสมของค่าการลดทอนสัญญาณ ที่สิงคโปร์..... | 46 |

สารบัญญภาพ (ต่อ)

| | หน้า |
|---|------|
| รูปที่ 3.10 การแจกแจงสะสมของอัตราฝนตก ที่บันดุง | 47 |
| รูปที่ 3.11 การแจกแจงสะสมของค่าการลดทอนสัญญาณ ที่บันดุง..... | 47 |
| รูปที่ 4.1 ภาพแสดงเส้นทางการแพร่ของสัญญาณดาวเทียม และ พารามิเตอร์ที่ใช้ในการทำนายการลดทอนโดย CCIR | 49 |
| รูปที่ 4.2 เปรียบเทียบการแจกแจงสะสมของการลดทอน ที่คำนวณโดยวิธีของ CCIR กับที่ได้จากการวัด สำหรับกรุงเทพฯ (ก.พ. 2535 - ม.ค. 2536) | 52 |
| รูปที่ 4.3 เปรียบเทียบการแจกแจงสะสมของการลดทอน ที่คำนวณโดยวิธีของ CCIR กับที่ได้จากการวัด สำหรับกรุงเทพฯ (ก.พ. 2536 - ม.ค. 2537) | 52 |
| รูปที่ 4.4 เปรียบเทียบการแจกแจงสะสมของการลดทอน ที่คำนวณโดยวิธีของ CCIR กับที่ได้จากการวัด สำหรับกรุงเทพฯ (ก.พ. 2535 - ม.ค. 2537) | 53 |
| รูปที่ 4.5 เปรียบเทียบการแจกแจงสะสมของการลดทอน ที่คำนวณโดยวิธีของ CCIR กับที่ได้จากการวัด สำหรับศรีราชา (ก.พ. 2535 - ม.ค. 2536)..... | 53 |
| รูปที่ 4.6 เปรียบเทียบการแจกแจงสะสมของการลดทอน ที่คำนวณโดยวิธีของ CCIR กับที่ได้จากการวัด สำหรับศรีราชา (ก.พ. 2536 - ม.ค. 2537)..... | 54 |
| รูปที่ 4.7 เปรียบเทียบการแจกแจงสะสมของการลดทอน ที่คำนวณโดยวิธีของ CCIR กับที่ได้จากการวัด สำหรับศรีราชา (ก.พ. 2535 - ม.ค. 2537)..... | 54 |
| รูปที่ 4.8 เปรียบเทียบการแจกแจงสะสมของการลดทอน ที่คำนวณโดยวิธีของ CCIR กับที่ได้จากการวัด สำหรับสิงคโปร์ (ก.พ. 2535 - ม.ค. 2536)..... | 55 |
| รูปที่ 4.9 เปรียบเทียบการแจกแจงสะสมของการลดทอน ที่คำนวณโดยวิธีของ CCIR กับที่ได้จากการวัด สำหรับบันดุง (ก.พ. 2535 - ต.ค. 2535)..... | 55 |
| รูปที่ 4.10 แผนที่แสดงย่านภูมิอากาศของฝน | 56 |
| รูปที่ 4.11 แผนที่แสดงย่านภูมิอากาศของฝนในสหรัฐอเมริกา..... | 57 |
| รูปที่ 4.12 ความสูง 0°C isotherm | 58 |

สารบัญญภาพ (ต่อ)

| | หน้า |
|--|------|
| รูปที่ 4.13 เปรียบเทียบการแจกแจงสะสมของการลดทอน ที่คำนวณโดยวิธี Global model กับที่ได้จากการวัด สำหรับกรุงเทพฯ (ก.พ. 2535 - ม.ค. 2536)..... | 61 |
| รูปที่ 4.14 เปรียบเทียบการแจกแจงสะสมของการลดทอน ที่คำนวณโดยวิธี Global model กับที่ได้จากการวัด สำหรับกรุงเทพฯ (ก.พ. 2536 - ม.ค. 2537)..... | 61 |
| รูปที่ 4.15 เปรียบเทียบการแจกแจงสะสมของการลดทอน ที่คำนวณโดยวิธี Global model กับที่ได้จากการวัด สำหรับกรุงเทพฯ (ก.พ. 2535 - ม.ค. 2537)..... | 62 |
| รูปที่ 4.16 เปรียบเทียบการแจกแจงสะสมของการลดทอน ที่คำนวณโดยวิธี Global model กับที่ได้จากการวัด สำหรับศรีราชา (ก.พ. 2535 - ม.ค. 2536)..... | 62 |
| รูปที่ 4.17 เปรียบเทียบการแจกแจงสะสมของการลดทอน ที่คำนวณโดยวิธี Global model กับที่ได้จากการวัด สำหรับศรีราชา (ก.พ. 2536 - ม.ค. 2537)..... | 63 |
| รูปที่ 4.18 เปรียบเทียบการแจกแจงสะสมของการลดทอน ที่คำนวณโดยวิธี Global model กับที่ได้จากการวัด สำหรับศรีราชา (ก.พ. 2535 - ม.ค. 2537)..... | 63 |
| รูปที่ 4.19 เปรียบเทียบการแจกแจงสะสมของการลดทอน ที่คำนวณโดยวิธี Global model กับที่ได้จากการวัด สำหรับสิงคโปร์ (ก.พ. 2535 - ม.ค. 2536)..... | 64 |
| รูปที่ 4.20 เปรียบเทียบการแจกแจงสะสมของการลดทอน ที่คำนวณโดยวิธี Global model กับที่ได้จากการวัด สำหรับบันดุง (ก.พ. 2535 - ม.ค. 2536)..... | 64 |
| รูปที่ 4.21 การกระจายอัตราฝนตกตามเส้นทางแนวราบ..... | 66 |
| รูปที่ 4.22 ภาพแสดงเส้นทางการแพร่ในแนวตั้ง..... | 67 |
| รูปที่ 4.23 เปรียบเทียบการแจกแจงสะสมของการลดทอน ที่คำนวณโดยวิธี SAM กับที่ได้จากการวัด สำหรับกรุงเทพฯ (ก.พ. 2535 - ม.ค. 2536)..... | 69 |
| รูปที่ 4.24 เปรียบเทียบการแจกแจงสะสมของการลดทอน ที่คำนวณโดยวิธี SAM กับที่ได้จากการวัด สำหรับกรุงเทพฯ (ก.พ. 2536 - ม.ค. 2537)..... | 69 |
| รูปที่ 4.25 เปรียบเทียบการแจกแจงสะสมของการลดทอน ที่คำนวณโดยวิธี SAM กับที่ได้จากการวัด สำหรับกรุงเทพฯ (ก.พ. 2535 - ม.ค. 2537)..... | 70 |

สารบัญภาพ (ต่อ)

| | หน้า | |
|-------------|--|----|
| รูปที่ 4.26 | เปรียบเทียบการแจกแจงสะสมของการลดทอน ที่คำนวณโดยวิธี SAM กับที่ได้จากการวัด สำหรับศรีราชา (ก.พ. 2535 - ม.ค. 2536)..... | 70 |
| รูปที่ 4.27 | เปรียบเทียบการแจกแจงสะสมของการลดทอน ที่คำนวณโดยวิธี SAM กับที่ได้จากการวัด สำหรับศรีราชา (ก.พ. 2536 - ม.ค. 2537)..... | 71 |
| รูปที่ 4.28 | เปรียบเทียบการแจกแจงสะสมของการลดทอน ที่คำนวณโดยวิธี SAM กับที่ได้จากการวัด สำหรับศรีราชา (ก.พ. 2535 - ม.ค. 2537)..... | 71 |
| รูปที่ 4.29 | เปรียบเทียบการแจกแจงสะสมของการลดทอน ที่คำนวณโดยวิธี SAM กับที่ได้จากการวัด สำหรับสิงคโปร์ (ก.พ. 2535 - ม.ค. 2536)..... | 72 |
| รูปที่ 4.30 | เปรียบเทียบการแจกแจงสะสมของการลดทอน ที่คำนวณโดยวิธี SAM กับที่ได้จากการวัด สำหรับบังคัง (ก.พ. 2535 - ต.ค. 2535)..... | 72 |
| รูปที่ 5.1 | ภาพตัวอย่างการตรวจฝนด้วยเรดาร์ในเขตกรุงเทพมหานคร เมื่อวันที่ 13 กันยายน 2536 เวลา 19.30 น. ที่กรมอุตุนิยมวิทยา บางนา..... | 75 |
| รูปที่ 5.2 | ภาพตัวอย่างการตรวจฝนด้วยเรดาร์ในเขตกรุงเทพมหานคร เมื่อวันที่ 5 กันยายน 2536 เวลา 16.30 น. ที่กรมอุตุนิยมวิทยา บางนา..... | 76 |
| รูปที่ 5.3 | เปรียบเทียบการแจกแจงขนาดเส้นผ่าศูนย์กลางเซลล์ฝน สำหรับฝนหนัก ที่กรุงเทพฯ..... | 82 |
| รูปที่ 5.4 | เปรียบเทียบการแจกแจงขนาดเส้นผ่าศูนย์กลางเซลล์ฝน สำหรับฝนปานกลาง ที่กรุงเทพฯ..... | 82 |
| รูปที่ 5.5 | เปรียบเทียบการแจกแจงขนาดเส้นผ่าศูนย์กลางเซลล์ฝน สำหรับฝนเล็กน้อย ที่กรุงเทพฯ..... | 83 |
| รูปที่ 5.6 | ความสัมพันธ์ระหว่างขนาดเส้นผ่าศูนย์กลางเฉลี่ยของเซลล์ฝนกับอัตราฝนตก..... | 83 |
| รูปที่ 5.7 | การแจกแจงความสูงระดับเยือกแข็ง ที่กรุงเทพฯ..... | 89 |
| รูปที่ 5.8 | การแจกแจงความสูงระดับเยือกแข็ง ที่เชียงใหม่..... | 90 |
| รูปที่ 5.9 | การแจกแจงความสูงระดับเยือกแข็ง ที่อุบลราชธานี..... | 90 |
| รูปที่ 5.10 | การแจกแจงความสูงระดับเยือกแข็ง ที่สงขลา..... | 91 |
| รูปที่ 5.11 | การแจกแจงความสูงระดับเยือกแข็ง ที่ภูเก็ต..... | 91 |
| รูปที่ 5.12 | แสดง 3 เส้นทาง(A,B,C) ที่ได้รับผลกระทบของการลดทอนจากฝน..... | 92 |

สารบัญญภาพ (ต่อ)

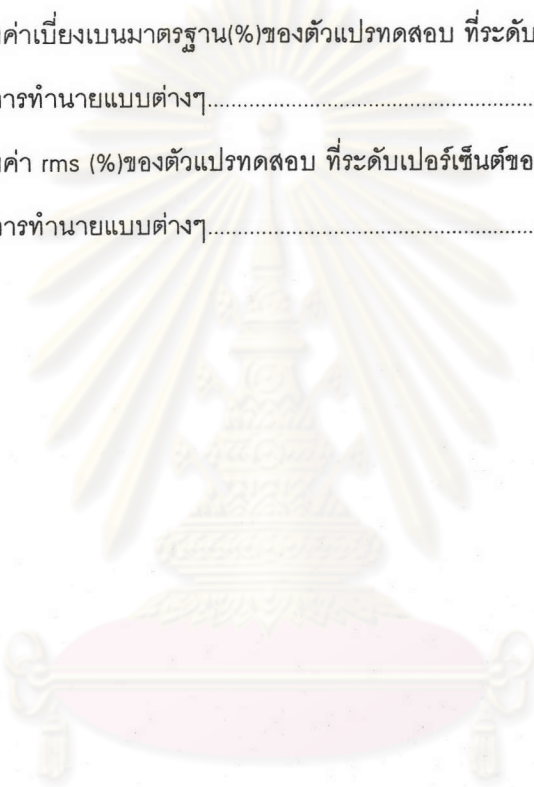
| | หน้า |
|--|------|
| รูปที่ 5.13 สถิติการลดทอนสัญญาณของ 3 เส้นทางในรูปที่ 5.12 | 93 |
| รูปที่ 5.14 ภาพแบบจำลองเซลล์พลาสมาที่นำเสนอ | 94 |
| รูปที่ 5.15 กราฟของความยาวเส้นทางที่อยู่ภายในเซลล์พลาสมา(L(x)) เมื่อเซลล์พลาสมา อยู่ที่ตำแหน่ง x ต่างๆ สำหรับกรณีที่ $L_S \cos \theta < D_{cell}$ | 95 |
| รูปที่ 5.16 กราฟของความยาวเส้นทางที่อยู่ภายในเซลล์พลาสมา(L(x)) เมื่อเซลล์พลาสมา อยู่ที่ตำแหน่ง x ต่างๆ สำหรับกรณีที่ $L_S \cos \theta > D_{cell}$ | 95 |
| รูปที่ 5.17 เปรียบเทียบการแจกแจงสะสมของการลดทอน ที่คำนวณโดยวิธีที่เสนอ กับที่ได้จากการวัด สำหรับกรุงเทพฯ (ก.พ. 2535 - ม.ค. 2536) | 97 |
| รูปที่ 5.18 เปรียบเทียบการแจกแจงสะสมของการลดทอน ที่คำนวณโดยวิธีที่เสนอ กับที่ได้จากการวัด สำหรับกรุงเทพฯ (ก.พ. 2536 - ม.ค. 2537) | 97 |
| รูปที่ 5.19 เปรียบเทียบการแจกแจงสะสมของการลดทอน ที่คำนวณโดยวิธีที่เสนอ กับที่ได้จากการวัด สำหรับกรุงเทพฯ (ก.พ. 2535 - ม.ค. 2537) | 98 |
| รูปที่ 5.20 เปรียบเทียบการแจกแจงสะสมของการลดทอน ที่คำนวณโดยวิธีที่เสนอ กับที่ได้จากการวัด สำหรับศรีราชา (ก.พ. 2535 - ม.ค. 2536) | 98 |
| รูปที่ 5.21 เปรียบเทียบการแจกแจงสะสมของการลดทอน ที่คำนวณโดยวิธีที่เสนอ กับที่ได้จากการวัด สำหรับศรีราชา (ก.พ. 2536 - ม.ค. 2537) | 99 |
| รูปที่ 5.22 เปรียบเทียบการแจกแจงสะสมของการลดทอน ที่คำนวณโดยวิธีที่เสนอ กับที่ได้จากการวัด สำหรับศรีราชา (ก.พ. 2535 - ม.ค. 2537) | 99 |
| รูปที่ 5.23 เปรียบเทียบการแจกแจงสะสมของการลดทอน ที่คำนวณโดยวิธีที่เสนอ กับที่ได้จากการวัด สำหรับสิงคโปร์ (ก.พ. 2535 - ม.ค. 2536) | 100 |
| รูปที่ 5.24 เปรียบเทียบการแจกแจงสะสมของการลดทอน ที่คำนวณโดยวิธีที่เสนอ กับที่ได้จากการวัด สำหรับบันดุง (ก.พ. 2535 - ต.ค. 2535) | 100 |

สารบัญญภาพ (ต่อ)

| | หน้า |
|--|------|
| รูปที่ 5.25 เปรียบเทียบการแจกแจงสะสมของการลดทอน ที่คำนวณโดยวิธีที่เสนอ (ใช้การแจกแจงอัตราฝนตกของ CCIR-N) กับที่ได้จากการวัด สำหรับกรุงเทพฯ (ก.พ. 2535 - ม.ค. 2536) | 101 |
| รูปที่ 5.26 เปรียบเทียบการแจกแจงสะสมของการลดทอน ที่คำนวณโดยวิธีที่เสนอ (ใช้การแจกแจงอัตราฝนตกของ CCIR-N) กับที่ได้จากการวัด สำหรับกรุงเทพฯ (ก.พ. 2536 - ม.ค. 2537) | 101 |
| รูปที่ 5.27 เปรียบเทียบการแจกแจงสะสมของการลดทอน ที่คำนวณโดยวิธีที่เสนอ (ใช้การแจกแจงอัตราฝนตกของ CCIR-N) กับที่ได้จากการวัด สำหรับกรุงเทพฯ (ก.พ. 2535 - ม.ค. 2537) | 102 |
| รูปที่ 5.28 เปรียบเทียบการแจกแจงสะสมของการลดทอน ที่คำนวณโดยวิธีที่เสนอ (ใช้การแจกแจงอัตราฝนตกของ CCIR-N) กับที่ได้จากการวัด สำหรับศรีราชา (ก.พ. 2535 - ม.ค. 2536) | 102 |
| รูปที่ 5.29 เปรียบเทียบการแจกแจงสะสมของการลดทอน ที่คำนวณโดยวิธีที่เสนอ (ใช้การแจกแจงอัตราฝนตกของ CCIR-N) กับที่ได้จากการวัด สำหรับศรีราชา (ก.พ. 2536 - ม.ค. 2537) | 103 |
| รูปที่ 5.30 เปรียบเทียบการแจกแจงสะสมของการลดทอน ที่คำนวณโดยวิธีที่เสนอ (ใช้การแจกแจงอัตราฝนตกของ CCIR-N) กับที่ได้จากการวัด สำหรับศรีราชา (ก.พ. 2535 - ม.ค. 2537) | 103 |
| รูปที่ 5.31 เปรียบเทียบการแจกแจงสะสมของการลดทอน ที่คำนวณโดยวิธีที่เสนอ (ใช้การแจกแจงอัตราฝนตกของ CCIR-P) กับที่ได้จากการวัด สำหรับสิงคโปร์ (ก.พ. 2535 - ม.ค. 2536) | 104 |
| รูปที่ 5.32 เปรียบเทียบการแจกแจงสะสมของการลดทอน ที่คำนวณโดยวิธีที่เสนอ (ใช้การแจกแจงอัตราฝนตกของ CCIR-P) กับที่ได้จากการวัด สำหรับบันดุง (ก.พ. 2535 - ต.ค. 2535) | 104 |

สารบัญภาพ (ต่อ)

| | หน้า |
|---|------|
| รูปที่ 6.1 เปรียบเทียบค่าเฉลี่ย(%)ของตัวแปรทดสอบ ที่ระดับเปอร์เซ็นต์ของเวลาต่างๆ สำหรับวิธีการทำนายแบบต่างๆ..... | 114 |
| รูปที่ 6.2 เปรียบเทียบค่าเบี่ยงเบนมาตรฐาน(%)ของตัวแปรทดสอบ ที่ระดับเปอร์เซ็นต์ของเวลาต่างๆ สำหรับวิธีการทำนายแบบต่างๆ..... | 114 |
| รูปที่ 6.3 เปรียบเทียบค่า rms (%)ของตัวแปรทดสอบ ที่ระดับเปอร์เซ็นต์ของเวลาต่างๆ สำหรับวิธีการทำนายแบบต่างๆ..... | 115 |


 ศูนย์วิทยทรัพยากร
 จุฬาลงกรณ์มหาวิทยาลัย